

INF 2064 - Visão Computacional e Realidade Aumentada

Prova Final de 2008.2

Aluno(a): _____ matrícula: _____

Para fazer a prova favor observar o seguinte:

1. A prova é individual.
2. A prova é para ser feita em casa e com consulta livros, manuais e material de referência na internet.
3. A prova é entregue por e-mail, através de um arquivo Word e sua resposta também deve ser digital (arquivo Word ou pdf) entregue também por e-mail.
4. Durante o período de provas os alunos devem se abster de conversar sobre ela, qualquer que seja o laço pessoal entre eles.
5. Mantenha sua solução em segredo até a data de entrega.
6. A prova deverá ser entregue na quinta-feira, dia 27 de novembro, e deverá ser devolvida (estar na minha caixa postal) antes das 7h da 4ª feira, dia 3 de dezembro.
7. Após esta hora as provas não serão mais aceitas.

1. A relação entre as coordenadas (X,Y,Z) de um ponto em 3D e as coordenadas de seu *pixel* (u,v) pode ser descrita por uma matriz de projeção de câmera **P**.

a. Pode a matriz de câmera incorporar as distorções de lente? Explique brevemente.

Não. A distorção radial é uma deformação não-linear. A matriz de projeção é linear no espaço projetivo.

b. Liste os parâmetros intrínsecos (internos) e extrínsecos(externos) de um modelo de câmera.

No modelo *pin-hole* podemos ter os seguintes parâmetros internos:

f_x = distância focal medida em tamanho do *pixel* em x

f_y = distância focal medida em tamanho do *pixel* em y

γ = distorção dos eixos xy da câmera

(o_x, o_y) = centro óptico da câmera na imagem

k_1 e k_2 = coeficientes de distorção radial

e os seguintes parâmetros externos:

(t_x, t_y, t_z) , 3 gl que definem a posição do centro de projeção da câmera

3 gl que definem a rotação da câmera em relação aos eixos do mundo.

c. Mostre como a matriz **P** pode ser escrita em termos do produto de duas matrizes, uma que contenha só os parâmetros intrínsecos e outra que contenha os parâmetros extrínsecos.

Resposta:

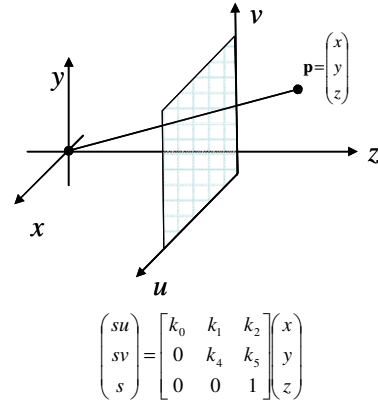
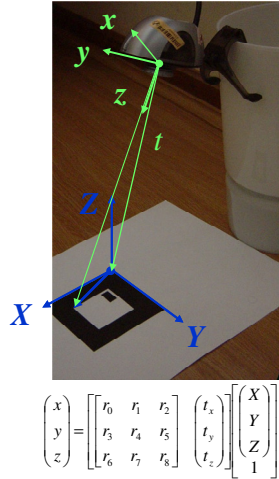
$$\mathbf{p} = \mathbf{K}[\mathbf{R} \quad \mathbf{t}]\mathbf{P}$$

$$\begin{bmatrix} su \\ sv \\ s \end{bmatrix} = \begin{bmatrix} -f_x & \gamma & o_x \\ 0 & -f_y & o_y \\ 0 & 0 & 1 \end{bmatrix} \begin{bmatrix} (\mathbf{i}_w \cdot \mathbf{i}_c) & (\mathbf{j}_w \cdot \mathbf{i}_c) & (\mathbf{k}_w \cdot \mathbf{i}_c) \\ (\mathbf{i}_w \cdot \mathbf{j}_c) & (\mathbf{j}_w \cdot \mathbf{j}_c) & (\mathbf{k}_w \cdot \mathbf{j}_c) \\ (\mathbf{i}_w \cdot \mathbf{k}_c) & (\mathbf{j}_w \cdot \mathbf{k}_c) & (\mathbf{k}_w \cdot \mathbf{k}_c) \end{bmatrix} \begin{pmatrix} t_x \\ t_y \\ t_z \end{pmatrix} \begin{bmatrix} X_w \\ Y_w \\ Z_w \\ 1 \end{bmatrix}$$

os vetores $\mathbf{i}_c, \mathbf{j}_c, \mathbf{k}_c$ são os unitários do sistema de eixos da câmera, definidos através da rotação da câmera em relação aos eixos do mundo.

2. Uma biblioteca de calibração fornece as matrizes $K_{3 \times 3}$ e $[R \ t]_{3 \times 4}$. Determine, a partir delas as matrizes LookAt e Projection do OpenGL. Suponha que o sistema de calibração de câmera se baseie nos eixos os mostrados abaixo.

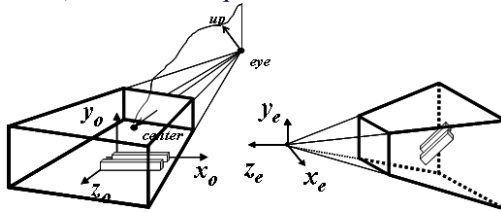
Visão



Resposta:

- a) Obtendo a LookAt

A matrix LookAt do OpenGL se baseia na transformação entre o sistema dos objetos (*world coord*) e os do olho que são ambos sistemas destros (seguem a “sistemas da mão direita”).



No caso proposto o sistema global também é destro e se ambos tiverem na mesma posição a relação entre eles é trivial:

$$\begin{pmatrix} X \\ Y \\ Z \\ 1 \end{pmatrix} = \begin{pmatrix} x_0 \\ y_0 \\ z_0 \\ 1 \end{pmatrix}$$

O sistema da câmera é sinistro e tem o eixo z invertido em relação ao que seria um sistema destro. Com isto a relação ente os sistemas do *eye* (OpenGL) e o da Câmera pode ser escrita como:

$$\begin{pmatrix} x_e \\ y_e \\ z_e \\ 1 \end{pmatrix} = \begin{bmatrix} 1 & 0 & 0 & 0 \\ 0 & 1 & 0 & 0 \\ 0 & 0 & -1 & 0 \\ 0 & 0 & 0 & 1 \end{bmatrix} \begin{pmatrix} x \\ y \\ z \\ 1 \end{pmatrix}$$

A matriz de parâmetros extrínsecos pode ser re-escrita acrescentando-se uma linha inócua (1=1):

$$\begin{bmatrix} x \\ y \\ z \\ 1 \end{bmatrix} = \begin{bmatrix} r_0 & r_1 & r_2 \\ r_3 & r_4 & r_5 \\ r_6 & r_7 & r_8 \\ \mathbf{0} & & \end{bmatrix} \begin{bmatrix} t_x \\ t_y \\ t_z \\ 1 \end{bmatrix} \begin{bmatrix} X \\ Y \\ Z \\ 1 \end{bmatrix}$$

Substituindo as coordenadas do sistema de calibração pelas do OpenGL temos:

$$\begin{bmatrix} x_e \\ y_e \\ z_e \\ 1 \end{bmatrix} = \begin{bmatrix} 1 & 0 & 0 & 0 \\ 0 & 1 & 0 & 0 \\ 0 & 0 & -1 & 0 \\ 0 & 0 & 0 & 1 \end{bmatrix} \begin{bmatrix} r_0 & r_1 & r_2 \\ r_3 & r_4 & r_5 \\ r_6 & r_7 & r_8 \\ \mathbf{0} & & \end{bmatrix} \begin{bmatrix} t_x \\ t_y \\ t_z \\ 1 \end{bmatrix} \begin{bmatrix} X \\ Y \\ Z \\ 1 \end{bmatrix}$$

ou:

$$\begin{bmatrix} x_e \\ y_e \\ z_e \\ 1 \end{bmatrix} = \begin{bmatrix} r_0 & r_1 & r_2 & t_x \\ r_3 & r_4 & r_5 & t_y \\ -r_6 & -r_7 & -r_8 & -t_z \\ 0 & 0 & 0 & 1 \end{bmatrix} \begin{bmatrix} x_0 \\ y_0 \\ z_0 \\ 1 \end{bmatrix}$$

Esta matriz 4×4 é a matriz LookAt do OpenGL.

Note que, se o sistema do mundo fosse também sinistro teríamos:

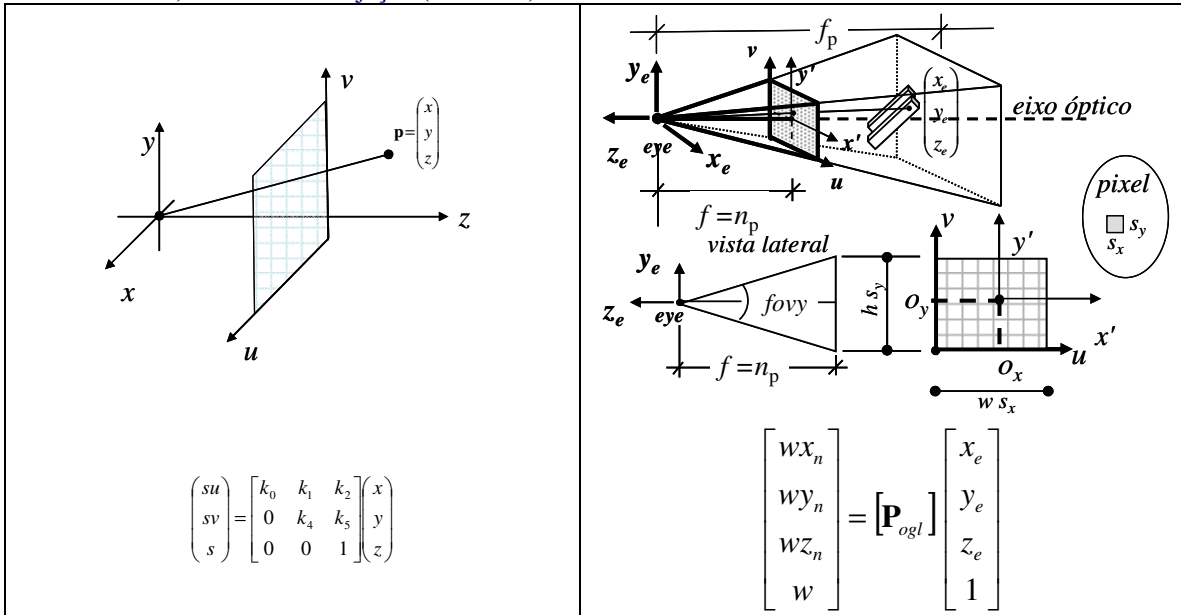
$$\begin{bmatrix} x_e \\ y_e \\ z_e \\ 1 \end{bmatrix} = \begin{bmatrix} 1 & 0 & 0 & 0 \\ 0 & 1 & 0 & 0 \\ 0 & 0 & -1 & 0 \\ 0 & 0 & 0 & 1 \end{bmatrix} \begin{bmatrix} r_0 & r_1 & r_2 \\ r_3 & r_4 & r_5 \\ r_6 & r_7 & r_8 \\ \mathbf{0} & & \end{bmatrix} \begin{bmatrix} t_x \\ t_y \\ t_z \\ 1 \end{bmatrix} \begin{bmatrix} 1 & 0 & 0 & 0 \\ 0 & 1 & 0 & 0 \\ 0 & 0 & -1 & 0 \\ 0 & 0 & 0 & 1 \end{bmatrix} \begin{bmatrix} X \\ Y \\ Z \\ 1 \end{bmatrix}$$

ou:

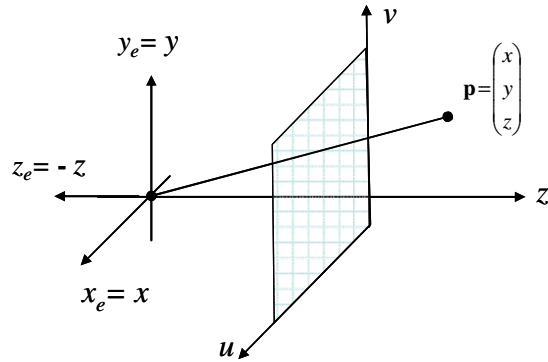
$$\begin{bmatrix} x_e \\ y_e \\ z_e \\ 1 \end{bmatrix} = \begin{bmatrix} r_0 & r_1 & -r_2 & t_x \\ r_3 & r_4 & -r_5 & t_y \\ -r_6 & -r_7 & +r_8 & -t_z \\ 0 & 0 & 0 & 1 \end{bmatrix} \begin{bmatrix} x_0 \\ y_0 \\ z_0 \\ 1 \end{bmatrix}$$

Esta relação ocorre com frequência em sistemas multi-câmera quando os sistemas delas são sinistros e uma das câmeras assume o papel de sistema global.

b) Matriz de Projeção (intrínseca)



Primeiramente relacionar o sistema de eixos do *eye* do OpenGL com o sistema sinistro da câmara.



$$\begin{pmatrix} su \\ sv \\ s \end{pmatrix} = \begin{bmatrix} k_0 & k_1 & k_2 \\ 0 & k_4 & k_5 \\ 0 & 0 & 1 \end{bmatrix} \begin{pmatrix} x \\ y \\ z \end{pmatrix} = \begin{bmatrix} k_0 & k_1 & k_2 \\ 0 & k_4 & k_5 \\ 0 & 0 & 1 \end{bmatrix} \begin{bmatrix} 1 & 0 & 0 \\ 0 & 1 & 0 \\ 0 & 0 & -1 \end{bmatrix} \begin{pmatrix} x_e \\ y_e \\ z_e \end{pmatrix}$$

ou

$$\begin{pmatrix} su \\ sv \\ s \end{pmatrix} = \begin{bmatrix} k_0 & k_1 & -k_2 \\ 0 & k_4 & -k_5 \\ 0 & 0 & -1 \end{bmatrix} \begin{pmatrix} x_e \\ y_e \\ z_e \end{pmatrix}$$

No lado esquerdo das equações de projeção a dificuldade é um pouco maior.

Primeiramente no sistema da câmara temos u e v que variam no intervalo: $[0, w-1] \times [0, h-1]$ enquanto no OpenGL a matriz de projeção está baseada em coordenadas normalizadas, de acordo com:

$$\begin{bmatrix} wx_n \\ wy_n \\ wz_n \\ w \end{bmatrix} = \begin{bmatrix} P_{ogl} \end{bmatrix} \begin{bmatrix} x_e \\ y_e \\ z_e \\ 1 \end{bmatrix} = \begin{bmatrix} p_0 & p_4 & p_8 & p_{12} \\ p_1 & p_5 & p_9 & p_{13} \\ p_2 & p_6 & p_{10} & p_{14} \\ p_3 & p_7 & p_{11} & p_{15} \end{bmatrix} \begin{bmatrix} x_e \\ y_e \\ z_e \\ 1 \end{bmatrix}$$

que variam de $[-1, 1] \times [-1, 1] \times [-1, 1]$. Note também que no OpenGL a linearização da matriz é por colunas e não linhas.

A relação entre as coordenadas normalizadas e (u,v) é a seguinte:

$$x_n = \frac{u}{2w} - 1 \text{ e } y_n = \frac{v}{2h} - 1$$

A profundidade não é computada no processo de calibração, e a relação entre as coordenadas normalizadas e (u,v) tem que ser acrescida da identidade ($z_n = z_n$). Ou seja:

$$\begin{bmatrix} wx_n \\ wy_n \\ wz_n \\ w \end{bmatrix} = \begin{bmatrix} \frac{2}{w} & 0 & 0 & -1 \\ 0 & \frac{2}{h} & 0 & -1 \\ 0 & 0 & 1 & 0 \\ 0 & 0 & 0 & 1 \end{bmatrix} \begin{bmatrix} su \\ sv \\ sz_n \\ s \end{bmatrix}$$

Como o *pipeline* de *rendering* do OpenGL se baseia no algoritmo de *ZBuffer* temos que fornecer na matriz de projeção uma relação entre as profundidades normalizadas e no sistema do *eye*. Esta relação pode ser definida a partir das distâncias dos planos *near* e *far*, n_p e f_p , respectivamente por por:

$$z_c = -\frac{f_p + n_p}{f_p - n_p} z_e - \frac{2f_p n_p}{f_p - n_p}, \quad w = -z_e \text{ e } z_n = \frac{z_c}{w}$$

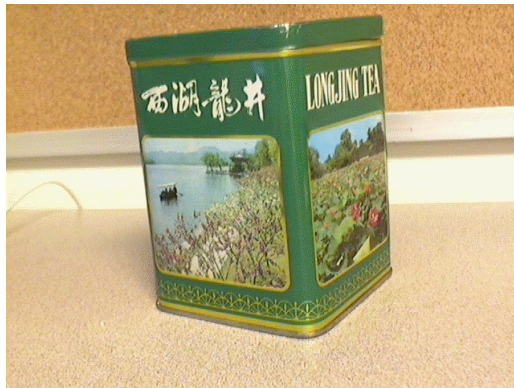
como mostramos na derivação do algoritmo de *rendering* do OpenGL. Tudo isto resulta em:

$$\begin{bmatrix} wx_n \\ wy_n \\ wz_n \\ w \end{bmatrix} = \begin{bmatrix} \frac{2}{w} & 0 & 0 & -1 \\ 0 & \frac{2}{h} & 0 & -1 \\ 0 & 0 & 1 & 0 \\ 0 & 0 & 0 & 1 \end{bmatrix} \begin{bmatrix} k_0 & k_1 & -k_2 & 0 \\ 0 & k_4 & -k_5 & 0 \\ 0 & 0 & \frac{-(f_p + n_p)}{f_p - n_p} & \frac{-2f_p n_p}{f_p - n_p} \\ 0 & 0 & -1 & 0 \end{bmatrix} \begin{bmatrix} x_e \\ y_e \\ z_e \\ 1 \end{bmatrix}$$

ou

$$[\mathbf{P}_{OGL}] = \begin{bmatrix} \frac{2k_0}{w} & \frac{2k_1}{w} & 1 - \frac{2k_2}{w} & 0 \\ 0 & \frac{2k_4}{h} & 1 - \frac{2k_5}{h} & 0 \\ 0 & 0 & -\frac{f_p + n_p}{f_p - n_p} & -\frac{2f_p n_p}{f_p - n_p} \\ 0 & 0 & -1 & 0 \end{bmatrix}$$

3. No site <http://research.microsoft.com/~zhang/Calib/>, Zhang fornece duas imagens de uma lata de chá com pontos de correspondência. Utilize estas imagens e calcule (utilizando softwares como o MathLab) a matriz Fundamental que relaciona as retas epipolares destas imagens utilizando o algoritmo de 8 pontos. Lembrem que ele tem um problema de estabilidade numérica que pode ser resolvido normalizando a imagem. Escolha um ponto em cada imagem e determine, na outra a sua reta epipolar.



Resposta:

Pontos de correspondência dados

```
(0.2613, 0.2344) <-> (0.2047, 0.2427)
(0.4883, 0.1781) <-> (0.3531, 0.2016)
(0.7223, 0.1505) <-> (0.6656, 0.1667)
(0.5000, 0.3000) <-> (0.3652, 0.3203)
(0.5824, 0.1828) <-> (0.4414, 0.2057)
(0.2973, 0.4943) <-> (0.2352, 0.4932)
(0.3438, 0.6969) <-> (0.2730, 0.6891)
(0.5414, 0.7370) <-> (0.4105, 0.7542)
(0.5113, 0.3563) <-> (0.3770, 0.3760)
(0.3098, 0.2073) <-> (0.2352, 0.2208)
(0.5863, 0.2750) <-> (0.4484, 0.2979)
(0.7309, 0.2271) <-> (0.6801, 0.2458)
(0.7363, 0.6130) <-> (0.6816, 0.6500)
(0.6164, 0.7208) <-> (0.4844, 0.7495)
(0.7316, 0.3021) <-> (0.6793, 0.3250)
(0.5898, 0.3688) <-> (0.4516, 0.3917)
```

Pontos de correspondência normalizados

```
(-1.0000, -0.5252) <-> (-0.9529, -0.6282)
(-0.1687, -0.7313) <-> (-0.3431, -0.7972)
(0.6884, -0.8324) <-> (0.9406, -0.9406)
(-0.1257, -0.2849) <-> (-0.2934, -0.3094)
(0.1762, -0.7141) <-> (0.0196, -0.7801)
(-0.8684, 0.4268) <-> (-0.8277, 0.4009)
(-0.6981, 1.1689) <-> (-0.6720, 1.2054)
(0.0259, 1.3158) <-> (-0.1072, 1.4728)
(-0.0842, -0.0788) <-> (-0.2452, -0.0805)
(-0.8226, -0.6245) <-> (-0.8277, -0.7181)
(0.1905, -0.3764) <-> (0.0484, -0.4014)
(0.7199, -0.5520) <-> (1.0000, -0.6154)
(0.7399, 0.8617) <-> (1.0064, 1.0449)
(0.3007, 1.2567) <-> (0.1961, 1.4535)
(0.7228, -0.2772) <-> (0.9968, -0.2902)
(0.2034, -0.0330) <-> (0.0613, -0.0163)
```

Pontos de correspondência em coordenadas da janela [0,w]x[0,h]

```
( 84, 184) <-> ( 66, 182)
( 156, 197) <-> ( 113, 192)
```

```
( 231, 204)<->( 213, 200)
( 160, 168)<->( 117, 163)
( 186, 196)<->( 141, 191)
( 95, 121)<->( 75, 122)
( 110, 73)<->( 87, 75)
( 173, 63)<->( 131, 59)
( 164, 155)<->( 121, 150)
( 99, 190)<->( 75, 187)
( 188, 174)<->( 144, 169)
( 234, 186)<->( 218, 181)
( 236, 93)<->( 218, 84)
( 197, 67)<->( 155, 60)
( 234, 168)<->( 217, 162)
( 189, 152)<->( 145, 146)
```

Matriz de normalização de coordenadas da esquerda [R_left]:

```
3.6630 0.0000 -1.9573
0.0000 3.6630 -1.3838
0.0000 0.0000 1.0000
```

Matriz de normalização de coordenadas da direita [R_right]:

```
4.1079 0.0000 -1.7937
0.0000 4.1079 -1.6252
0.0000 0.0000 1.0000
```

[A]

```
0.9529 0.6282 -1.0000 0.5005 0.3300 -0.5252 -0.9529 -0.6282 1.0000
0.0579 0.1345 -0.1687 0.2509 0.5830 -0.7313 -0.3431 -0.7972 1.0000
0.6476 -0.6475 0.6884 -0.7830 0.7830 -0.8324 0.9406 -0.9406 1.0000
0.0369 0.0389 -0.1257 0.0836 0.0881 -0.2849 -0.2934 -0.3094 1.0000
0.0034 -0.1374 0.1762 -0.0140 0.5571 -0.7141 0.0196 -0.7801 1.0000
0.7187 -0.3481 -0.8684 -0.3532 0.1711 0.4268 -0.8277 0.4009 1.0000
0.4691 -0.8414 -0.6981 -0.7856 1.4090 1.1689 -0.6720 1.2054 1.0000
-0.0028 0.0382 0.0259 -0.1411 1.9379 1.3158 -0.1072 1.4728 1.0000
0.0207 0.0068 -0.0842 0.0193 0.0063 -0.0788 -0.2452 -0.0805 1.0000
0.6808 0.5907 -0.8226 0.5169 0.4484 -0.6245 -0.8277 -0.7181 1.0000
0.0092 -0.0765 0.1905 -0.0182 0.1511 -0.3764 0.0484 -0.4014 1.0000
0.7199 -0.4430 0.7199 -0.5520 0.3397 -0.5520 1.0000 -0.6154 1.0000
0.7447 0.7732 0.7399 0.8673 0.9004 0.8617 1.0064 1.0449 1.0000
0.0590 0.4370 0.3007 0.2464 1.8266 1.2567 0.1961 1.4535 1.0000
0.7204 -0.2097 0.7228 -0.2763 0.0804 -0.2772 0.9968 -0.2902 1.0000
0.0125 -0.0033 0.2034 -0.0020 0.0005 -0.0330 0.0613 -0.0163 1.0000
```

Matriz Fundamental obtida pela Solução $Ax=0$, [F0]:

```
-0.0136 0.0176 0.0540
0.0238 -0.0006 0.7431
-0.0132 -0.6661 0.0061
```

Se calcularmos a distância média quadrática dos pontos fornecidos às retas epipolares com [F0] temos **0.000508**

Decompondo [F0] em [U][D][V]^t temos:

[U]

```
-0.9971 -0.0712 0.0282
0.0721 -0.9969 0.0318
-0.0259 -0.0338 -0.9991
```

[D]

```
0.0156 0.0000 0.0000
0.0000 0.7455 0.0000
0.0000 0.0000 0.6664
```

[V]

```
0.9993 -0.0300 0.0204
-0.0195 0.0293 0.9994
-0.0306 -0.9991 0.0287
```

Anulando o menor valor de [D] para forçar o $\text{rank}([F])=2$, temos:

[D]

```
0.0000 0.0000 0.0000
```


0.0000 0.7455 0.0000
0.0000 0.0000 0.6664

e a Matriz Fundamental [F]

0.0020 0.0173 0.0536
0.0227 -0.0006 0.7432
-0.0128 -0.6662 0.0060

A distância média quadrática dos pontos fornecidos às retas epipolares com [F] resulta em **0.002064**

[F] em coordenadas [0,w]x[0,h] é dada por:

0.0000 -0.0000 0.0027
-0.0000 -0.0000 -0.0375
0.0004 0.0336 0.9987

Retas epipolares:

Pontos correspondentes de teste: (95,121) <-> (75,122)

O ponto a esquerda (95,121) gera a linha $a=0.002373$ $b=-0.037827$ $c=5.105315$ a direita.
Esta linha passa por $0.0024*75-0.0378*122+5.1053=0.0000$ que é o correspondente do ponto da esquerda.

O ponto a direita (75,122) gera a linha $a=-0.000046$ $b=0.033426$ $c=-3.371923$ a esquerda.
Esta linha passa por $-0.000046*95+0.0334*121-3.3719=0.0000$ que é o correspondente do ponto da direita.